

## ГЛУБОКИЕ ЭЛЕКТРОННЫЕ ЛОВУШКИ В ИСХОДНЫХ И ОТОЖЖЕННЫХ В ВОДОРОДЕ КРИСТАЛЛАХ n-InP

А.Н. Георгобиани, А.В. Микуленок, Н.Б. Пышная, И.М. Тигиняну,  
В.В. Урсаки, В.А. Урсу

*Методом нестационарной спектроскопии глубоких уровней обнаружены две электронные ловушки в n-InP с энергией активации термической эмиссии носителей 0,86 и 0,60 эВ. Установлено, что отжиг в водороде приводит к спаду концентрации ловушек  $E_1$  и появлению новых ловушек  $E_3$  с энергией активации 0,40 эВ.*

Фосфид индия в сочетании с изопериодическими твердыми растворами на базе соединений  $A^3B^5$  является перспективным материалом для создания приборов СВЧ диапазона и устройств волоконной оптики. В связи с этим исследование свойств кристаллов InP представляет несомненный интерес. Особенно важным является изучение локализованных состояний, определяющих характер рекомбинационных процессов в материале. В данной работе проведено исследование глубоких электронных ловушек в исходных и отожженных в водороде монокристаллах n-InP методом нестационарной емкостной спектроскопии глубоких уровней (НЕСГУ) по методике, предложенной в работе /1/. Для емкостных измерений на поверхностях пластин с ориентацией (100) были изготовлены барьеры Шоттки Ni-InP термическим распылением никеля в вакууме. Барьеры Шоттки формировались как на исходных кристаллах n-InP, так и на отожженных в водороде при  $300 - 500$  °C в течение 1 часа. Площадь контакта составляла  $\sim 1,0 \text{ mm}^2$ . Методика эксперимента подробно описана в /2/.

На вставке рис. 1 представлена вольт-емкостная характеристика барьера Шоттки Ni-n-InP, снятая при комнатной температуре. Видно, что зависимость  $I/C^2 = f(U)$ , где  $C$  – емкость барьера,  $U$  – приложенное

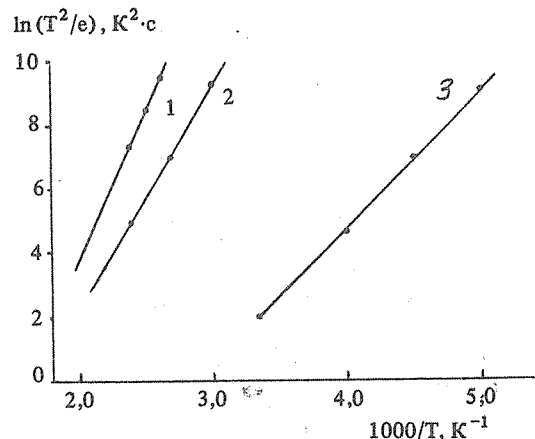
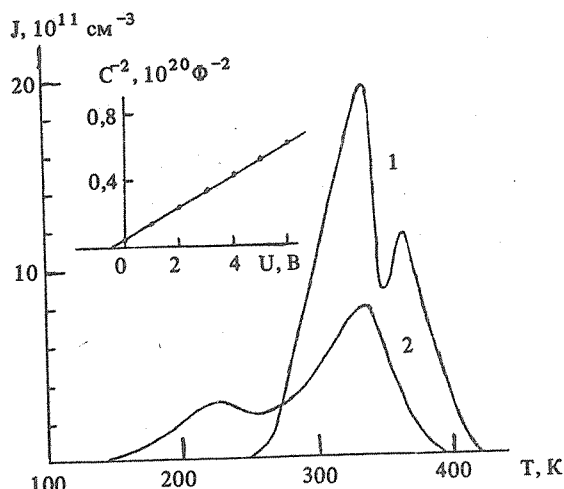


Рис. 1. Кривые НЕСГУ  $J$  исходных (1) и отожженных в  $H_2$  при  $500$  °C (2) кристаллов n-InP. На вставке показана вольт-емкостная характеристика барьера Шоттки Ni-n-InP при  $300$  K.

Рис. 2. Температурная зависимость скорости эмиссии носителей для ловушек  $E_1$  (1),  $E_2$  (2) и  $E_3$  (3).

обратное смещение, является прямой линией. Высота барьера Шоттки, определенная по напряжению отсечки вольт-емкостной характеристики, составляет  $\varphi_B \sim 0,60$  эВ. Наклон кривой определяется концентрацией основных носителей в материале, т.е. концентрацией электронов. Рассчитанная величина и равна  $1,4 \cdot 10^{16} \text{ см}^{-3}$ . Отметим, что отжиг фосфида индия в  $H_2$  в интервале температур  $300 - 500$  °С не приводит к заметным изменениям вольт-емкостных характеристик барьера Шоттки на его основе.

На рис. 1 приведены кривые НЕСГУ исходного и отожженного в водороде при  $500$  °С  $n$ -InP. Для исходных кристаллов характерно наличие двух электронных ловушек, обозначенных  $E_1$  и  $E_2$ . В результате отжига при  $500$  °С существенно уменьшается концентрация ловушек  $E_1$  и образуются новые электронные ловушки  $E_3$ . Эти изменения не наблюдаются в случае отжига при температурах  $300$  и  $400$  °С.

Для нахождения параметров обнаруженных уровней были построены температурные зависимости скорости эмиссии  $e$  носителей с ловушек (рис. 2). В результате анализа этих зависимостей определены энергии активации уровней  $E_t$ , сечения захвата ими электронов  $\sigma$  и концентрации  $N_t$ , которые приведены в табл. 1.

Таблица 1

*Параметры электронных ловушек в  $n$ -InP*

Параметр Ловушка	$E_t$ , эВ	$\sigma, \text{см}^2$	$N_t, \text{см}^{-3}$	
			исх. крист.	отж. 500 °С
$E_1$	0,86	$5 \cdot 10^{-14}$	$1,2 \cdot 10^{12}$	$10^{11}$
$E_2$	0,60	$5 \cdot 10^{-16}$	$2 \cdot 10^{12}$	$8,3 \cdot 10^{11}$
$E_3$	0,41	$5 \cdot 10^{-15}$	—	$3 \cdot 10^{11}$

Сравнивая полученные результаты с литературными данными можно предположить, что ловушка  $E_1$  соответствует уровню С, который в работе /3/ был связан с дефектом  $P_{In}$ . Ловушка  $E_2$  имеет параметры, близкие к уровню Е2, приписанному авторами /4/ дефекту  $P_i$  или  $V_{In}$ . Что касается ловушек  $E_3$ , то аналогичные уровни наблюдали авторы /4/ и /5/ (соответственно Е5 и Е в их обозначениях), которые связали их с комплексами, образованными вакансиями фосфора с другими дефектами решетки или примесями.

В заключение отметим, что ловушка  $E_1$  может соответствовать тому же дефекту фосфида индия, что и дырочная ловушка Н<sub>3</sub>, обнаруженная в  $p$ -InP /2/, поскольку сумма их энергий активации (0,86 и 0,51 эВ) согласуется с шириной запрещенной зоны соединения.

Авторы выражают благодарность З.П. Илюхиной за проведение отжигов и Ф.А. Скакуну за техническое содействие.

#### ЛИТЕРАТУРА

1. Lang D. V. J. Appl. Phys., 45, N 7, 3023 (1974).
2. Георгобиани А. Н. и др. Препринт ФИАН № 56, М., 1986.
3. Inuishi M., Wessels B.W. Thin Solid Films, 103, 141 (1983).
4. Yamazoe Y. et al. Jap. J. Appl. Phys., 20, N 2, 347 (1981).
5. Wada O., Majerfield A., Choudhury A. N. M. M. J. Appl. Phys., 51, N 1, 423 (1980).

Поступила в редакцию 1 марта 1988 г.